

مقارنة جودة المياه بين مأخذ مياه شرب اللاذقية وطرطوس في بحيرة السنّ

* م. عزيز عادل عسيكريه * د. رائد جعفر * د. هيثم جناد *

(الإيداع: 16 تشرين الأول 2024، القبول: 17 تشرين الثاني 2024)

الملخص:

تزوّد محافظتي طرطوس، واللاذقية بالمياه من موقعين مختلفين في بحيرة السنّ، فالأولى تستجرّ المياه من منطقة اليابس المعذّبة للبحيرة، بينما تستجرّ الثانية مياهاً بعيداً عن اليابس. قورنت في هذا البحث جودة المياه بين مأخذ مياه شرب اللاذقية، وطرطوس، بهدف تقييم معنوية الفروق بينهما، وحاجة كلٍّ منها للمعالجة قبل الصّفّ، وذلك من خلال دراسة التّغيرات الزمنيّة والمكانية في عدد من البارامترات الغيركيميائيّة، والميكروبيّة لجودة المياه المقاسة بمعدل ثلاث مرات شهرياً في عام 2021 من كلا المأخذين.

أظهرت نتائج البحث وجود فروق معنوية مكانيّة بين المأخذين في عكارة المياه، وأعداد عصيات الكولييفورم البرازية، وتراكيز كلٍّ من الأوكسجين المنحل، والأمونيا، والتّنرتيت، والفنوسفات، إذ كانت قيم هذه البارامترات عند مأخذ مياه شرب طرطوس أفضل منها عند مأخذ مياه شرب اللاذقية. تؤكّد النتائج حاجة المياه المستجّرة من مأخذ مياه شرب اللاذقية للمعالجة قبل تطهيرها، وضخّها، وعدم حاجة المياه المستجّرة من مأخذ مياه شرب طرطوس للمعالجة. تدعم النتائج ضرورة تعديل الموقع الحالي لأخذ محطة تنقية مياه شرب اللاذقية، ليصبح في منطقة اليابس المعذّبة لأنّ محطة التنقية غير مؤهلة للتخلّص من الملوثات العضويّة الموجودة في هذا الموقع، لاسيما أنها تنتقل مع المياه المرشّحة إلى مرحلة التطهير الكيميائي بالكلور.

الكلمات المفتاحية: بحيرة السنّ، مأخذ مياه شرب اللاذقية، مأخذ مياه شرب طرطوس، مياه صالحة للشرب، بارامترات جودة المياه.

* طالب دكتوراه - قسم الهندسة البيئية - كلية الهندسة المدنية - جامعة تشرين - اللاذقية - سوريا.

** أستاذ - قسم الهندسة البيئية - كلية الهندسة المدنية - جامعة تشرين - اللاذقية - سوريا.

*** مدرس - قسم الهندسة البيئية - كلية الهندسة المدنية - جامعة تشرين - اللاذقية - سوريا.

**** أستاذ - قسم الهندسة البيئية - كلية الهندسة المدنية - جامعة تشرين - اللاذقية - سوريا.

Comparison of Water Quality between Lattakia and Tartous Drinking Water Intakes of In Al-Sin Lake

Aziz Adel Osekrieh* Dr. Raed Jafar** Dr. Haitham Jnad*** Dr. Adel Awad****

(Received: 16 October 2024 , Accepted: 17 November 2024)

Abstract:

Tartous and Lattakia governorates are supplied with water from two different locations in Al-Sin Lake. The first governorate draws its water from the feeding springs area of the lake, while the second draws its water away from the springs area. In this research, the water quality of Lattakia and Tartous intakes was compared to determine whether there is significantly spatial difference between them and the need for each of them to be treated before pumping. This was conducted through studying the temporal and spatial changes of several physicochemical and microbial parameters of water quality measured three times monthly in 2021 from both intakes.

The research results showed a significant spatial difference between the intakes in the water turbidity, fecal coliform counts, and in dissolved oxygen, ammonia, nitrite and nitrate concentration, in which the parameters values were better in Tartus drinking water intake than Lattakia drinking water intake. The results confirm the necessity for water drawn from Lattakia drinking water intake to be treated before sterilizing and pumping it, while the water drawn from Tartous drinking water intake does not need treatment. The results support the need to modify the current location of Lattakia drinking water purification plant intake, to be in feeding springs area because the plant is not qualified to remove the organic pollutants in this location, especially since they are transmitted in the filtered water to the chemical sterilization stage by chlorine.

Key words: Al-Sin Lake, Lattakia drinking water intake, Tartus drinking water intake, potable water, water quality parameters.

Introduction مقدمة - 1

* Postgraduate Student (Ph.D.), Department of Environmental Engineering, Faculty of Civil Engineering, Tishreen University, Lattakia, Syria.

** Professor, Department of Environmental Engineering, Faculty of Civil Engineering, Tishreen University, Lattakia, Syria.

*** Lecturer, Department of Environmental Engineering, Faculty of Civil Engineering, Tishreen University, Lattakia, Syria.

**** Professor, Department of Environmental Engineering, Faculty of Civil Engineering, Tishreen University, Lattakia, Syria.

تُضمن سلامٌ مياه الشرب من خلال مراقبة كفاءة التدابير المتخذة لحماية المصدر المائي باستخدام بارامترات تُناسب ظروف المصدر المائي، وخصائص موقعه الجيولوجية، والمناخية، وما يحيطه من نشاطاتٍ بشريّة، وتعبر هذه البارامترات معاً عن جودة مياه المصدر المائي (Fortes et al., 2023).

إن جودة المياه Water Quality موضوع معقد، وتعرّف بأنّها مجموعة الخصائص الفيزيائية، والكيميائية، والحيوية التي تُميّز المياه، وتحدد ملائمتها للغرض الذي تستخدّم من أجله (Effendi, 2016). وتحدد من خلال قياس البارامترات الفيزياكيميائية والحيوية لعيّنات المياه المقطوفة، ومقارنتها مع المعايير المسموحة محلياً، أو عالمياً (Jafar, 2016).

يمكن التمييز بين مصادر نقطية للتلوث تشمل أية وسيلة محدودة، ومنفصلة تنقل الملوثات إلى المصدر المائي مثل الأنابيب، أو الأقنية، وأخرى غير نقطية (منتشرة) مثل الهواء، أو التربة السطحية الملوثين (Edwards & Withers, 2008). تصعب مراقبة التلوث المنتشر، ورصده، وإدارته مقارنة بالتلويث النقطي، إذ تعمل المصادر النقطية بشكل مستمر واضح ومركمز، بينما تكون المصادر المنتشرة غير منتظمة، وعرضية، ومرتبطة بأحداث التصريف الكبري (Edwards & Withers, 2008)، كذلك تُعَد خصائص الأحواض المائية وдинاميكياتها إدارتها إذ يصعب تحديدها بدقة نتيجة التباين في أنواع الترب، والتضاريس، والهيدرولوجيا، والمناخ، واستخدامات الأرضي (Heathwaite et al., 2005).

تمثّل حماية المصدر المائي أول حواجز حماية جودة مياهه، وتشاهد الإدارات الفعالة لحوضه بمنع، أو تقليل وصول الملوثات إليه، وبالتالي تقليل حجم معالجة المياه، وتكليف الاستثمار (World Health Organization WHO, 2022).

تعرّض بحيرة السنّ للتلوث جراء الأنشطة البشرية في حوضها المغذي، ورغم سهولة وصول الملوثات إلى البحيرة، وجد باحثون أنّ جودة مياهها جيدة خلال فترة رصدها من عدّة نقاط رصد باستخدام مؤشرات جودة مياه متعدّلة، وبaramترات جودة مياه مختلفة (Awad et al., 2017; Jafar, 2016; Jafar et al., 2023). لكن من جهة أخرى، أثبتت احتواء مياه الشرب المعباء من نبع السنّ على معدني الرصاص، والثيكل بتراكيز أعلى مما هي عليه في ينابيع الدربيكش، وبقين، والفيجة بتراكيز أقصاها 0.227 mg/l ، و $0.48 \mu\text{g/l}$ لكلٍ منهما على التوالي (Salman, 2015). وأشارت أيضاً Habib et al., 2017 تعرّض بحيرة السنّ لفرط تغذية نتيجة وصول الفوسفور من مصادر تلوث منتشرة على امتداد حوض البحيرة (.

ترود محافظتي اللاذقية وطرطوس بمياه الشرب بشكل رئيسي من بحيرة السنّ من خلال محطة تتقية لمياه شرب اللاذقية، ومحطة صخّ لمياه شرب طرطوس، وقورت في هذا البحث جودة المياه عند مأخذى المحطتين لتقدير معنوية الفروق بينهما، وحاجة المياه عند كلٍّ منها للمعالجة قبل الصخّ.

2- أهمية البحث، وأهدافه Research Importance and Aims

يهدف البحث إلى مقارنة جودة المياه عند مأخذى مياه شرب اللاذقية، وطرطوس بالاعتماد على بارامترات فيزياكيميائية، وحيوية، لتقدير معنوية الفروقات في جودة المياه بين المأخذين، وحاجة المياه فيما للمعالجة، وتأتي أهميّة البحث من ضرورة حماية جودة مياه البحيرة، وابقاءها ضمن مستوى مقبول يضمن السلامة الصحّية للمستهلكين، مع تقليل كلفة استثماراتها، للاستمرار في تزويد المستهلكين في محافظتي اللاذقية، وطرطوس بالمياه.

3- طرائق البحث ومواده Research Methods and Materials

3-1- منطقة الدراسة

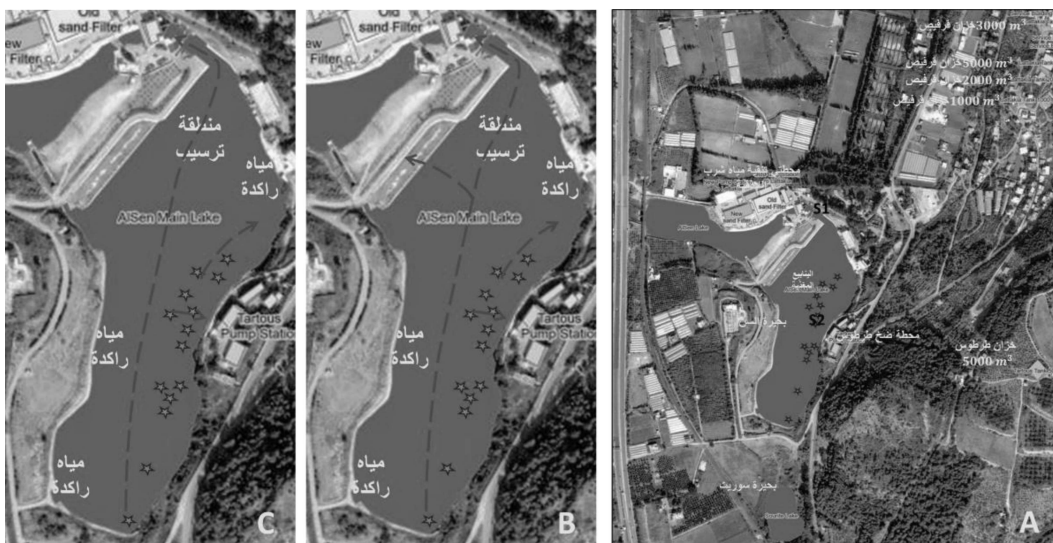
تقع بحيرة السنّ على الحدود الإدارية الفاصلة بين محافظة اللاذقية، وطرطوس، شمال خط الاستواء بين دائري عرض ($35^{\circ}15'13''N$ – $35^{\circ}15'31''N$)، وشرق خط غرينتش بين خطّي طول ($35^{\circ}57'59''E$ – $35^{\circ}58'09''E$)، ويبلغ متوسط طولها $525 m$ ، وعرضها $125 m$ ، بمساحة سطحية $72000 m^2$ (Hattab, 2012). تُصنف البحيرة

جيوكيميائياً كبحيرة ضحلة قليلة العمق، إذ يبلغ عمقها الوسطي 5 m ، والأعظمي 13 m ، وهي ذات تجدد طبيعي غزير للمياه (Habib et al., 2017). تشكلت البحيرة من نبع السنّ، وتعذر من أربعة عشر نبعاً، الشكل رقم (1)، ويسمى Awad et al., (2000).

نُفذت عدة مشاريع لضخ مياه الشرب من بحيرة السنّ، بدأت بمشروع ضخ مياه الشرب لمحافظة اللاذقية في عام 1971 بخط جرّ قطراه 700 mm , وبتصريف وسطي $0.4\text{ m}^3/\text{s}$, ودعم هذا الخطّ عام 1981 بخطّ جرّ آخر قطراه 1000 mm , وبتصريف وسطي $0.67\text{ m}^3/\text{s}$, بالإضافة إلى خطّ جرّ ثالث قطراه 1400 mm , وبتصريف وسطي $1.245\text{ m}^3/\text{s}$, أما خط الجرّ الرابع فقد نُفذ على مرحلتين، الأولى عام 2000-2001 من خزان قريص ذو السعة 5000 m^3 إلى جبلة، ونُفذت المرحلة الثانية عام 2007-2008 من جبلة إلى الخزان الرئيسي في بوقا، وبلغ طول الخط 12000 m في المرحلة أولى، و 26500 m في المرحلة الثانية، وقطره 1000 mm , وتصريفه $0.8\text{ m}^3/\text{s}$ (Hattab, 2012). سحب المياه من البحيرة عبر مأخذ مائي يقع في الجانب الشمالي الغربي منها بعيداً عن منطقة الينابيع، ومجهز بحاجزين شبكيين معدنيين يعلو كلّ منهما ممرّ، ومهمتهما منع دخول النباتات والماء كثيرة الحجم إلى أحواض ترشيح محطة التغذية القديمة، والجديدة، والتي تعبّر منها المياه إلى ببارات سحب، لتضخّ إلى أربع خزانات في قريص سعادتها التخزينية 5000 m^3 ($1000, 2000, 3000, 5000$) ترتفع عن سطح البحر 92 m , ثم تُجَرِّ إلى مدينة اللاذقية عبر خطوط الجرّ الأربع (Osekrieh, 2018).

بدأ استثمار مياه بحيرة السنّ لإمداد محافظة طرطوس بمياه الشرب في عام 1989 بخطّ جرّ قطراه 1000 mm , وبتصريف وسطي $1.125\text{ m}^3/\text{sec}$ (Hattab, 2012). تُضخّ المياه إلى طرطوس عبر محطة ضخ قديمة، وجديدة تستجران مياههما من موقع الينابيع مباشرة على بعد 35 m بواسطة عدّة قساطل كلّ منها مزود بشبك معدني لمنع وصول المواد العالقة، وتُنْفَلُ القساطل مياه البحيرة إلى ببارات سحب ارتفاع المياه فيها حوالي 4 m , ويتغيّر بتغيّر منسوب المياه في البحيرة، ومنها إلى خزان سعته التخزينية 5000 m^3 يرتفع عن سطح البحر 135 m .

تقسم السنّة بحيرة السنّ إلى قسمين أحدهما يحتوي ينابيع تغذية، والآخر لا يحتوي ينابيع تغذية، وتساهم حركة المياه في تشكّل مناطق مياه راكدة، ومناطق تترسب فيها المواد المعلقة، الشكل رقم (1). إذ تتدفق المياه من الينابيع نحو مأخذ محطة تغذية مياه شرب اللاذقية الواقع في مكان وجود مفيض متحرّك قديم استُبدل بمفيضٍ جديد ثابت في الجهة الغربية من البحيرة، ومن الجهة الجنوبية من البحيرة، الشكل رقم (C-1)، وعند زيادة غزارة الينابيع عن كمية المياه المُسجّرة من البحيرة، الشكل رقم (B-1)، تتحرّك المياه الفائضة نحو النهر عن طريق المفيض الثابت الجديد.



الشكل رقم (1): موقع الينابيع ونقطتي الرصد في بحيرة السن (A) وحركة المياه في البحيرة عند ارتفاع الغزارة (B) وعند انخفاضها (C)

تؤثر على جودة مياه بحيرة السن مصادر تلوث منتشرة في حوضها مثل معاصر الزيتون، ومكتبات القماممة، والجور الفنية، والبيوت البلاستيكية، والنشاط الزراعي الكثيف المترافق مع الاستخدام العشوائي للأسمدة الكيميائية، وتصل الملوثات الناجمة عن تلك المصادر بسرعة وبسهولة مع المياه إلى مناطق الينابيع المغذية للبحيرة من خلال الفوالق الكبيرة في بنية الحوض الجيولوجية، أو المسيلات المائية التي تتبادل معها التغذية المائية (General Organization of Remote Sensing, 2008). تؤثر الظواهر المتطرفة المتكررة الناجمة عن التغيرات المناخية مثل الجفاف، والفيضانات، سلباً على جودة مياه البحيرة، وكثياراتها، بالإضافة إلى الملوثات الهوائية التي تقللها الرياح من محطة بانياس الحرارية، ومصفافتها، والاسترداد الدولي لوقوع البحيرة في الاتجاه السائد للرياح، فضلاً عن علاقتها العضوية، وأثصالها الهيدروليكي ببحيرة سوريت التي تتلقى حمولات تلوث عالية من حوضها المغذي (Shaheen et al., 2021). ويساهم انتشار النباتات، والطحالب في قاع بحيرة السن، وعلى أطرافها بعيداً عن منطقة الينابيع المغذية، في إضافة حمولة عضوية ضمن البحيرة.

3-2- جمع العينات وتحليلها

ُقطفت العينات من موقع أخذ المياه لمحطة تنقية مياه شرب اللاذقية S1، ومحطة ضخ مياه شرب طرطوس S2، في بحيرة السن، الشكل رقم (A-1)، وذلك في الفترة الصباحية لأيام خلت من العاصفة، أو الفيضانات، إذ جُمعت العينات في عبوات بلاستيكية نظيفة بسعات (1000; 500) ml على عمق نصف متر من سطح البحيرة، وأجريت عليها تحاليل فيزيوكيميائية، وميكروبئية حقلية ومخبرية في مخبر محطة تنقية مياه شرب اللاذقية بمعدل ثلاث مرات شهرياً لمدة دورة هيدرولوجية في عام 2021، لتقدير درجة حرارتها، ودرجة pH، ونقاوتها، وقلويتها، وعكارتها، وأعداد عصيات الكولييفورم البرازية فيها، وتركيز كل من الأوكسجين المنحل، والكالسيوم، والمغنيزيوم، والأمونيا، والتترات، والتربيت، والفوسفات، والكلوريدي، والكبريتات، والصوديوم، والبوتاسيوم.

استخدم اختبار الفرق بين متosteعي عينتي الرصد لتقييم معنوية الفروق المكانية في قياسات بارامترات جودة المياه بينها، إذ تُشير قيم P-value الأقل من مستوى الدلالة المعتمد $\alpha = 5\%$ على معنوية الفروق بينهما.

Results and Discussion 4**4-1- تغيرات بارامترات جودة المياه عند مأخذ مياه شرب اللاذقية وطرطوس**

يبين الجدول رقم (1) ملخصاً إحصائياً لقياسات بارامترات جودة مياه بحيرة السنّ في نقطتي رصد مأخذ مياه شرب اللاذقية S1، ومأخذ مياه شرب طرطوس S2.

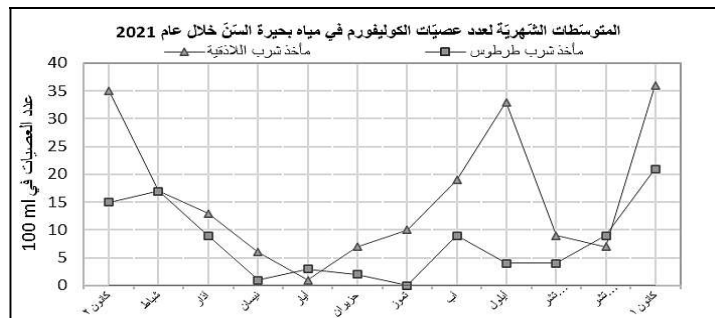
1- عصيات الكوليiform البرازية

يُشير الكوليiform البرازى إلى احتمال وجود بكتيريا مرضية، أو فيروسات محمولة في المياه قادمة من أمعاء الإنسان عبر مياه الصرف الصحي، أو الحيوانات، ويُقدر بعدد العصيات في كل 100 ml من المياه (Jafar, 2016; WHO, 2022). توَّكَّد المعاشرة القياسية السورية لمياه الشرب على خلوّ مياه الشرب من الكوليiform البرازى (Syrian Arab Organization for Standardization and Metrology S.N.S 45, 2007) الملؤلة جرثومياً لتطهيرها قبل استخدامها. يبيّن الشكل رقم (2) المتوجّمات الشهريّة لعدد عصيات الكوليiform البرازية في نقطتي الرصد.

لم تتحقّق قياسات أعداد عصيات الكوليiform المعاشرة القياسية السورية لمياه الشرب في 83.33% من نقاط القياس عند مأخذ مياه شرب اللاذقية متراوحةً ضمن المجال $c/100 \text{ ml}$ (0 – 80)، وفي 66.67% من نقاط القياس عند مأخذ مياه شرب طرطوس متراوحةً ضمن المجال $c/100 \text{ ml}$ (0 – 26)، ولوحظت القيم الأعلى عند المأخذين في فترات الهطول المطري، وتشير النتائج إلى ضرورة تطهير المياه المستجدة من المأخذين قبل استخدامها للشرب.

الجدول رقم (1): نتائج قياس بارامترات جودة المياه في مأخذ مياه شرب اللاذقية S1، ومأخذ مياه شرب طرطوس S2

T Test (P-Value)	الاختلاف المعياري		الوسطي		الصغرى		العظمى		البارامتر
	S2	S1	S2	S1	S2	S1	S2	S1	
0.6012	3.8	3.8	15.8	16.3	10	10.6	21.7	22.6	C° درجة الحرارة
0.8496	0.24	0.26	7.38	7.39	7.04	7.03	7.91	8.05	- الأُوكسجين الميدروجيني
0.8713	20	19	496	496	453	457	539	538	μslcm التأقليمة الكهربائية
0.8934	41	34	285	285	240	220	450	370	mg/l as القساوة الكلية
0.4277	29	31	268	262	230	220	360	350	CaCO ₃ القلوئية
$3.6 * 10^{-15}$	0.5	1.6	1.8	5	0.9	3.1	3.2	9.5	NTU العكاراة
0.052	0.3	0.3	6	5.9	5.5	5.4	6.5	6.3	الأُوكسجين المنحل
0.4023	8	8	67	66	48	52	84	80	الكالسيوم
0.4962	11	8.2	28	28.7	16.8	14.4	79.2	52.8	المغذنيوم
0.1067	3	3	18	17	13	12	24	22	الصوديوم
0.1104	0.24	0.28	1.19	1.09	0.75	0.61	1.7	1.8	البوتاسيوم
0.1584	3	3	23	22	18	16	28	30	الكلوريد
0.0528	4	5	21	19	10	8	29	29	الكبريتات
0.0022	0.034	0.065	0.028	0.067	0	0	0.135	0.224	الأمونيا
0.0484	0.045	0.091	0.095	0.13	0.02	0.02	0.167	0.408	الثتربت
0.0003	3.23	3.61	6.88	9.96	3.1	4	14.5	19.1	النترات
0.0124	0.073	0.112	0.123	0.18	0	0.01	0.26	0.38	الفوسفات
0.0156	8	18	8	16	0	0	26	80	Cs/100 ml الكوليiform البرازى



الشكل رقم (2): المعدلات الشهرية لقياسات الكولييفورم في مياه بحيرة السنّ في نقطتي الرصد

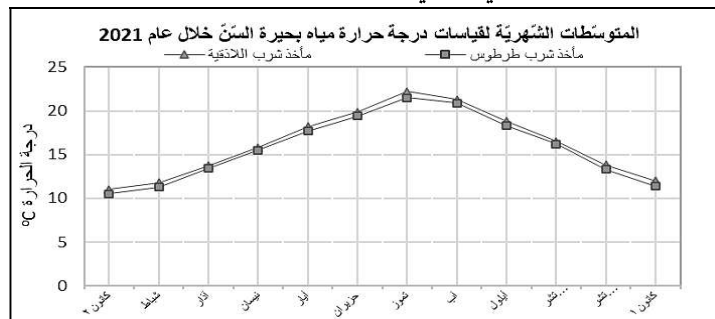
2- درجة حرارة المياه

تعتبر درجة حرارة المياه عاملًا مهمًا في التوازن البيئي والشاردي ضمنها، فهي تؤثر في مجمل خصائص المياه كالكثافة، واللزوجة، ومعدل احتلال الغازات، وسرعة التفاعلات الكيميائية والحيوية، والتي تؤثر بمجموعها في عملية التقى الذاتية (Cheikho et al., 2019).

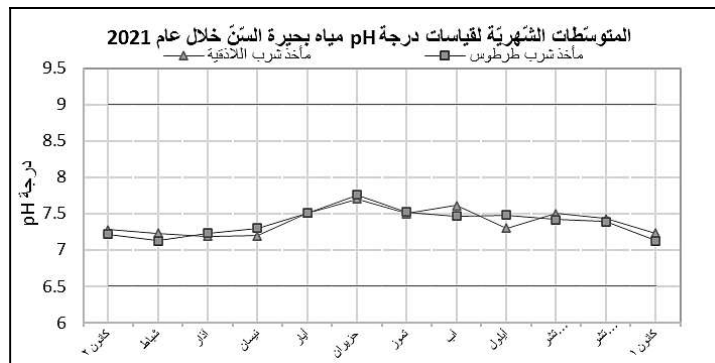
ترواحت درجة حرارة مياه بحيرة السنّ في نقطتي الرصد ضمن المجال $^{\circ}\text{C}$ (10 – 22.6)، وبلغت قيمها العليا في شهر تموز وأب، والدنيا في شهري كانون الثاني وشباط، وكانت درجة حرارة المياه في مأخذ مياه شرب طرطوس أقل منها في نقطة رصد مأخذ مياه شرب اللاذقية، وذلك لوقعها عند الينابيع التي تغذي البحيرة بالمياه الجوفية.

3- درجة pH

تعتبر درجة pH بمثابة قياسٍ لدرجة حموضة المياه، أو قلويتها، ومؤشرًا مهمًا في فهم التوازن الكيميائي في المياه، إذ تفسد الحموضة، أو القلوية الزائدة جودة المياه وتمنع إمكانية الحياة المائية، كما وتحدّ من صلاحية المياه لاستخدامات المختلفة، فيُسبب الوسط الحامضي ($\text{pH} < 7$) تآكل الأنابيب، وتجهيزات نقل وتوزيع المياه، ويزيد احتلاليّة بعض العناصر الثقيلة في المياه، بينما يُسبب الوسط القلوي ($\text{pH} > 7$) ترسّب الكالسيوم، والمغنيزيوم على سطح الأنابيب، ويدلّ على انتشار النباتات والطحالب في الجسم المائي (Cheikho et al., 2019; Osekrieh, 2018). تؤثر درجة pH على تشكّل مركبات ثلاثي الهالوميثان THMs المُسرّطنة عندما تتجاوز قيمتها 8، وتخضع المياه للتطهير بالكلور (WHO, 2022). وتتأثر درجة pH بنشاط الأحياء والنباتات المائية، وطبيعة المنطقة الجيولوجية، والهطول المطري، ووفرة المغذيات والملوّثات الناتجة عن النشاطات البشرية (Ghalia, 2013; Jafar et al., 2023). تسمح المواصفة القياسية السورية لمياه الشرب أن تتراوح قيمة درجة درجة pH مياه الشرب بين 6.5، 9 و 45، 2007 (S.N.S). يبيّن الشكل رقم (4) المعدلات الشهرية لدرجة pH المياه المقاسة في نقطتي الرصد.



الشكل رقم (3): المعدلات الشهرية لدرجة حرارة مياه بحيرة السنّ في نقطتي الرصد

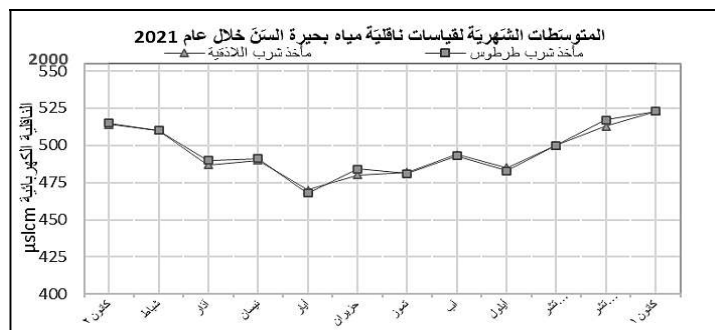


الشكل رقم (4): المتوسطات الشهرية لدرجة pH مياه بحيرة السن في نقطتي الرصد

تراوحت قيم درجة pH عند مأخذ شرب اللاذقية وطرطوس ضمن المجال (7.03-8.05)، وهي قيم محققة للمواصفة القياسية السورية لمياه الشرب، وتعكس الطبيعة القلوية الخفيفة لمياه الحوض المغذي، نتيجة سيادة شوارد الكربونات والبيكربونات فيها، وطبيعة التكسّفات الصخرية التي تجذّرها المياه المغذيّة للبحيرة، ولتأثير النباتات المائية، والطحالب التي تُساهِم باستهلاكها لثانيّ أوكسيد الكربون نهاراً بزيادة درجة pH. لوحظ تزامن القيم الأدنى مع فترات الهطول المطري وذلك تحت تأثير الجريان السطحي الملوث بالصرف الصناعي والزراعي، فيما ترتفع درجة pH صيفاً مع ازدياد نمو الطحالب ونشاطها. ومن الملاحظ بلوغ قيم درجة pH عند مأخذ شرب اللاذقية القيمة 8، ولذلك يجب التتحقق باستمرار من قيمة درجة pH المياه الخارجة من مرشحات محطة التقنية قبل تطهيرها.

4- الناقلة الكهربائية

تُعبّر الناقلة الكهربائية عن قدرة المياه على نقل التيار الكهربائي وتقاس بوحدة $\mu\text{s}/\text{cm}$ ، وتشير إلى كمية الأملاح المنحلّة في المياه، لذلك فهي تتأثر بتركيز الأملاح وبالهطول المطري والنشاطات البشرية المؤثرة (Osekrieh, 2018) فترتّدّ قيمتها مع الانحلال الإضافي للأملاح من مصادر طبيعية كالترّبة، أو البحر، أو من مصادر بشريّة كالصرف الصناعي والزراعي، وتؤثّر على طعم المياه وقوتها وترتّيد التّربات في الأنابيب. وتتصّل المواصفة القياسية السورية لمياه الشرب على ألا تتجاوز ناقلة مياه الشرب $45 \mu\text{s}/\text{cm}$ (S.N.S 45, 2007). يبيّن الشكل رقم (5) المتوسطات الشهرية لناقلة المياه في نقطتي الرصد.



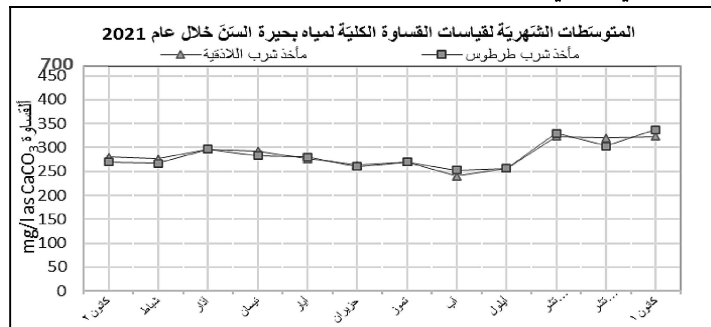
الشكل رقم (5): المتوسطات الشهرية لناقلة مياه بحيرة السن في نقطتي الرصد

تراوحت قيم ناقلة المياه عند نقطتي الرصد ضمن المجال $(453 - 539 \mu\text{s}/\text{cm})$ ، محققة المواصفة القياسية السورية لمياه الشرب، وكانت قيمتها متقاربة عند كل نقطة قياس، ولوحظت القيم المرتفعة شتاءً نتيجة الجريان الجوفي المحفز لأنحلال الصخور الكربونية الحاملة.

5- قساوة المياه Water Hardness

تشكل قساوة المياه طبيعياً من انحلال مجموعة شوارد معدنية متعددة التكافؤ في المياه، وخاصة كاتيوني الكالسيوم والمنجنيزيوم، ويعتبر عنها بالمليجرامات من كربونات الكالسيوم لكل لتر mg/l as CaCO_3 (WHO, 2022; Yadav et al., 2010). لا تؤثر القساوة صحياً على المستهلكين، إلا أنها تعتبر مقياساً مهمّاً لقبولهم لها، وكذلك لاعتبارات فنية واقتصادية وتشغيلية، إذ تسبّب المياه التي تزيد قساوتها عن 200 mg/l ترسبات محلية في مراحل معالجة المياه، وأنظمة توزيعها، وتنسب زيادة استهلاك الصابون، بينما تساهم المياه اليسيرة التي تقل قساوتها عن 100 mg/l في تأكل أنابيب التوزيع (WHO, 2022). تصنف المياه وفقاً لقساوتها إلى مياه يسيرة قساوتها $0 - 75 \text{ mg/l as CaCO}_3$ ، ومعتدلة القساوة قساوتها $75 - 150 \text{ mg/l as CaCO}_3$ ، وعسرة قساوتها $150 - 300 \text{ mg/l as CaCO}_3$ ، وعسرة قساوتها $300 \text{ mg/l as CaCO}_3$ جداً تزيد قساوتها عن $300 \text{ mg/l as CaCO}_3$ (Yadav et al., 2010). ولا تسمح المواصفة القياسية السورية لمياه الشرب أن تتجاوز قساوتها عن $700 \text{ mg/l as CaCO}_3$ (S.N.S 45, 2007).

يبيّن الشكل رقم (6) المتosteatas الشهريّة لقساوة المياه ببحيرة السنّ في نقطتي الرصد الشهريّة لقساوة مياه بحيرة السنّ في نقطتي الرصد.

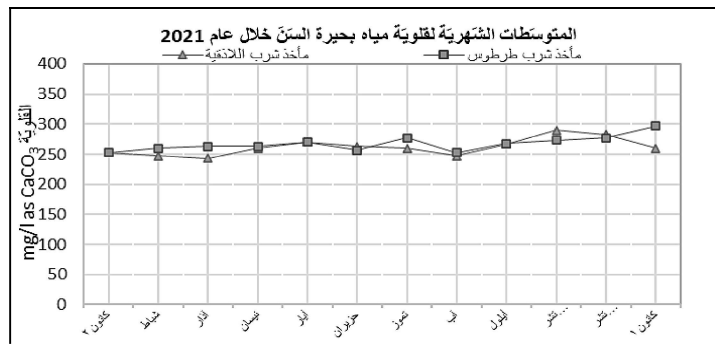


الشكل رقم (6): المتosteatas الشهريّة لقساوة المياه ببحيرة السنّ في نقطتي الرصد

لم تتجاوز قيم قساوة المياه الحد المسموح به وفق المواصفة القياسية السورية لمياه الشرب، وتراوحت عند مأخذ مياه شرب اللاذقية في المجال $(220 - 370) \text{ mg/l as CaCO}_3$ ، وعند مأخذ مياه شرب طرطوس في المجال $(240 - 410) \text{ mg/l as CaCO}_3$ ، ويمكن بالتالي اعتبار مياه بحيرة السنّ قاسية، وهي ذات منشأ طبيعي إذ لوحظت القيم الأعلى بجانب الينابيع المغذيّة للبحيرة، وخاصة في فترات الهطول المطري بالتزامن مع تحفيز انحلال الصخور الكربونية الحاملة، وانحلال المزيد من أملاح الكالسيوم والمنجنيزيوم منها.

6- قلوية المياه

تعرف قلوية المياه بقدرتها على تعديل حمض قياسي إلى درجة pH تتراوح بين (4.6-9.4)، ويعتبر عنها بوحدة mg/l as CaCO_3 ، وتُعرى إلى وجود أملاح حمضية ضعيفة، وأملاح قلوية ضعيفة وقوية مثل أملاح الكربونات، والبيكربونات التي تشكّل الجزء الأكبر منها، بالإضافة إلى الهيدروكسيدات، وأملاح الفوسفات، والبورات، والكبريتات (Ghalia, 2013). تساهم المياه القلوية في زيادة ترسب الأملاح في الأنابيب، وعموماً لا تسبّب المياه ذات درجة pH العالية تآكلًا في الأنابيب (Jafar et al., 2023; WHO, 2022). يبيّن الشكل رقم (7) المتosteatas الشهريّة لقلوية المياه في نقطتي الرصد.

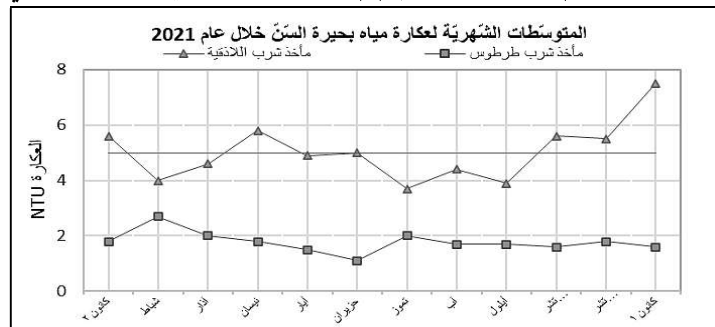


الشكل رقم (7): المتوسطات الشهرية لقلوية مياه بحيرة السنّ في نقطتي الرصد

تراوحت قيم قلوية المياه عند نقطتي الرصد ضمن المجال $mg/l \text{ as } CaCO_3$ (360 – 220). ترفع الطحالب والثباتات المنتشرة في قاع البحيرة، وعلى سطحها من قلوية المياه عبر عمليات تنفسها، وتترفع أيضاً المحتوى العضوي فيها، والذي لا تأخذ بالاعتبار أنظمة التنقية والصخّ، عدا عن أنّ المياه القلوية تزيد من التربات الملحية في الأنابيب خاصةً مع وجود نسبة عالية من أملاح الكالسيوم، والمغنيزيوم في المياه (WHO, 2022).

7- عكارة المياه

تنتج عكارة مياه المصدر المائي عن جزيئات صغيرة معلقة (مثل الطين والطمي)، ورواسب كيميائية (مثل المنغنيز والحديد)، وجسيمات عضوية (مثل بقايا النباتات)، وكائنات حيّة مائية، وطفيليات تعيش في أمعاء المجترات (مثل الكريبيتوسپوريديوم cryptosporidium والجياردیا Giardia)، لذلك تشير المياه العكرة إلى وجود ملوثات كيميائية وميكروبية فيها، أو إلى مشاكل في نظامي معالجة المياه وتوزيعها، ويربط العديد من المستهلكين التعرّق بالسلامة ويعتبرون المياه العكرة غير آمنة للشرب. ويقيس مؤشر العكارة خاصية تبعثر الضوء في المياه، وهي صفة مؤثرة في الحياة الحيوية فيها لأنّها تمنع، أو تخفّف من اختراق أشعة الشمس للمياه مما يؤثّر على تركيز الأوكسجين المنحل، ويعيق عملية التمثيل الضوئي، لذلك يعبر عن العكارة بوحدة (NTU) Nephelometric Turbidity Unit (NTU) (Jafar et al., 2023; WHO, 2022; Osekrieh, 2018; WHO, 2022). تدل التغييرات السريعة في عكارة مياه المصدر المائي على وصول حمولة تلوّث إليه، والبطيئة على تغيرات في طبيعته، وثربك العكارة العالية التي تحدث من فترة لأخرى عمليات المعالجة، وكذلك الترشيح غير الفعال بعد الغسيل العكسي للمرشح، إذ تحمي العكارة الكائنات الحية الذقيقة من آثار التطهير وتحفز نمو البكتيريا، مما قد يسمح لمسربات الأمراض والملوّثات بالدخول إلى المياه المعالجة ونظام التوزيع، فتزيد كمية الكلور اللازمة للتطهير. ومن هنا تؤكّد منظمة الصحة العالمية، والمواصفة القياسية السورية لمياه الشرب على ضرورة لا تتجاوز عكارة المياه 1 NTU من أجل كفاءة عملية التطهير بالكلور، فيما تسمح المواصفة القياسية السورية بعكارة لمياه الشرب حتى 5 NTU (S.N.S 45, 2007; WHO, 2022).

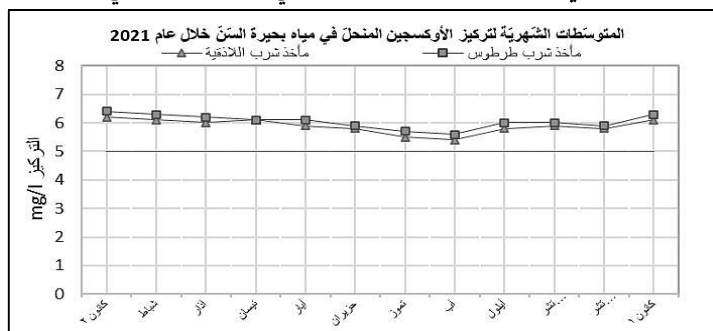


الشكل رقم (8): المتوسطات الشهرية لعكارة مياه بحيرة السنّ في نقطتي الرصد

تجاوزت قيم عكارة مياه بحيرة السّنّ الحد المسموح به في المواصفة القياسية السورية لمياه الشرب في 44.44% من نقاط القياس عند مأخذ مياه شرب اللاذقية متراوحةً ضمن المجال NTU (3.1 – 9.5) حيث تنتشر النباتات والطحالب والمواد الطافية عند المأخذ وتصل أجزاء منها إلى مرشحات محطة التّقية، بينما بقيت قيمها ضعيفة وأقل من الحد المسموح في نقاط القياس جميعها عند مأخذ مياه شرب طرطوس متراوحةً ضمن المجال NTU (0.9 – 3.2)، وذلك لوجود المأخذ في موقع اليابس المغذي للبحيرة. ولوحظ أن عكارة مياه بحيرة السّنّ تزداد في فترات هطول الأمطار مع تسرب المياه العكرة من المناطق القريبة من البحيرة إلى الحامل الجوفي للبحيرة عبر السقوف والفراغات الكارستية الكبيرة بدون أن تتخلص من عكارتها، نظراً لسرعة الجريان الجوفي الكبيرة، بينما تتناقص عكارة المياه المتسربة من الأجزاء البعيدة في منطقة التّعذية بسبب العوامل الفيزيائية والكميائية التي تأخذ دورها في تقيية المياه خلال فترة جريان المياه الجوفية (Awad et al., 2000). لوحظ ارتفاع عكارة المياه عند مأخذ مياه شرب اللاذقية بشكل متقطع تحت تأثير التلوث الداخلي للبحيرة عبر وصول النباتات والطحالب إلى المأخذ، وتتأثر التلوث بالغبار من الطريق السريع الغربي أثناء هبوب الرياح الجنوبية الغربية السائدة في المنطقة، وتعيق التبدلات في العكارة عملية التّقية اللاحقة التي لا تأخذها بالحسبان ونقال من فعالية عملية التطهير الكيميائي ويدعم ذلك النتيجة التي توصلت إليها دراسة سابقة لضعف كفاءة عمل مرشحات محطة تقيية مياه شرب اللاذقية (Osekrieh, 2018).

8- تركيز الأوكسجين المنحل

يشير الأوكسجين المنحل إلى قدرة المجرى والماء على التّقية الذاتية، ويجب ألا يقل في المياه عن 5 mg/l وفقاً للمواصفة القياسية السورية لمياه الشرب (S.N.S 45, 2007). يصل الأوكسجين المنحل إلى المياه إما من الجو، أو من عمليات التّمثيل الضّوئي، لذلك تتأثر تراكيزه عكساً مع كلٍ من درجة حرارة المياه، وتركيز الأملاح المنحلة، وتركيز الملوثات العضوية، وطرداً مع كلٍ من الضّغط الجوي، وسرعة الجريان، وعمليات التّمثيل الضّوئي في المصدر المائي. يبيّن الشكل رقم (9) المتوسطات الشهرية لتركيز الأوكسجين المنحل في المياه عند نقطتي الرصد.



الشكل رقم (9): المتوسطات الشهرية لتركيز الأوكسجين المنحل في مياه بحيرة السّنّ في نقطتي الرصد

تقع التّغيرات الزّمنية لتركيز الأوكسجين المنحل في المياه على امتداد الدّورة الهيدرولوجية في مجال صغير، فتراوحت في نقطتي الرصد ضمن المجال mg/l (6.5 – 5.4)، محققةً للمواصفة القياسية السورية لمياه الشرب، وتزداد تراكيزه في فصلي الشّتاء والرّبيع، وتتحفظ في الصّيف والخريف، متأثرةً طرداً مع حجم التّغذية المائية، وعكساً مع درجة حرارة المياه.

9- تراكيز الكاتيونات في المياه

يعتبر الكالسيوم الكاتيون الأكثر سيادة في مياه المناطق المعتدلة، وهو من المكونات الرئيسة للصخور الرّسوبيّة، ويليه المغنيزيوم، لذلك فإنّ مصادر هذين الكاتيونين في المياه طبيعية، وتوثّر أملاحهما على ثالقية المياه، وتركيز الأملاح المنحلة فيها، وتوثّر تراكيزهما العالية على طعم المياه، وتعتبر أملاح الكالسيوم المسبب الرّئيس لعسر المياه، بالرغم من أنّ وجود تراكيز قليلة منها يحدّ من تأكل الأنابيب، ويساعد نفاذية التّرب، ويقلل من التّأثير الضّار للصوديوم (Cheikho et

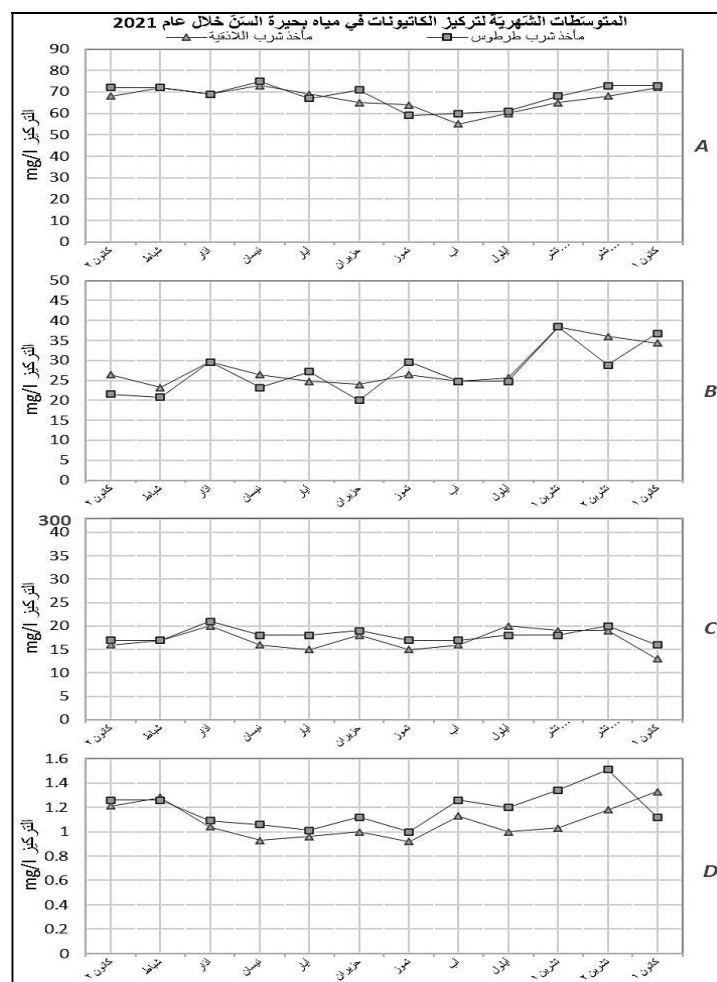
al., 2019). أيضاً، فإن الصوديوم من أكثر الفلزات القلوئية وجوداً في المياه الطبيعية نتيجة الانحلالية العالية لأملاله ومركباته في المياه، فضلاً عن إمكانية وصوله من مياه الصرف الصحي، والصناعي، والزراعي (Cheikho et al., 2019). وبخلافه، يتصرف البوتاسيوم وأملاله بالانحلالية المنخفضة في المياه، ونادرًا ما يصل إلى المياه السطحية طبيعياً نتيجة تثبيت فلزات التربة له بشكل غير عكوس، وإنما يصل عن طريق الأسمدة الزراعية (Cheikho et al., 2019). يعتبر الغذاء المصدر الأساسي لتعريض الجسم للصوديوم، والبوتاسيوم، وتسمح المواصفة القياسية السورية لمياه الشرب ببلوغ تركيز الصوديوم في مياه الشرب 300 mg/l، بينما لا تنص على قيمة إرشادية صحية لتركيز البوتاسيوم في مياه الشرب نظرًا لمستوياته الصغيرة جداً فيها مقارنة بحاجة الجسم اليومية منه البالغة أكثر من 3000 mg S.N.S 45, (2007). يبين الشكل رقم (10) المتوسطات الشهرية لتركيز الكاتيونات في نقطتي الرصد.

بلغ مجال تركيز الكالسيوم في المياه عند مأخذ المياه 84 mg/l (52 – 84)، وتركيز المغنيزيوم 48 mg/l (14.4 – 48)، وتركيز الصوديوم 10 mg/l (24 – 10)، وتركيز البوتاسيوم 1.8 mg/l (0.61 – 1.8)، وجميع القيم ضعيفة تدل على الطبيعة الجوفية العذبة للمياه المعدنية لبحيرة السن، و المجالات تغيرها زمنياً قليلة نتيجة تغلغل مياه الأمطار ضمن فراغات الصخور خلال فترة قصيرة نسبياً فلا تسمح بحل كمية كبيرة من الأملاح من الصخور الحاملة، إلا أن انتشار الواسع للصخور الحاوية على الكالسيوم ضمن الحوض المغذي، يجعل تركيز الكالسيوم في المياه أعلى من تركيز الكاتيونات الأخرى.

10- تركيز الأنيونات في المياه

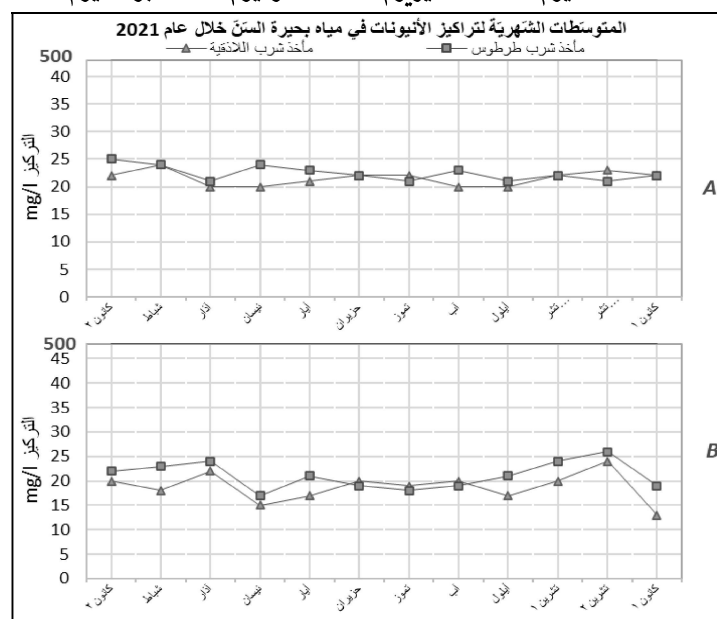
يصل الكلورايد إلى المياه طبيعياً من الصخور الرسوبيّة، ومعادن الصخور النارية، ومن مياه الصرف الصحي والصناعي، والمياه المالحة المتسربة (Cheikho et al., 2019). بينما تتشكل الكبريتات في المياه من أكسدة المعادن في الترب والصخور المحيطة بالمصدر المائي، وانحلال مركباتها الثانوية، ومن أكسدة المواد العضوية كالطحالب والببايا النباتية والحيوانية في المياه، ومن التلوث بالأسمدة الزراعية والمبيدات الحشرية، وبمياه الصرف الصناعي، ومن التربيب الجوي (Jafar et al., 2023; Osekrieh, 2018). يعتبر الغذاء المصدر الرئيسي لتعريض الإنسان للكلورايد وال الكبريتات، ولا تشكل مستوياتها في مياه الشرب خطراً صحياً، إلا أن تركيزهما العالية قد تسبب ظهور طعم غير مستساغ للمياه WHO, 2022). ولا تسمح المواصفة القياسية السورية لمياه الشرب بتجاوز تركيز كل من الكلورايد وال الكبريتات في مياه الشرب عن 500 mg/l (S.N.S 45, 2007). يبين الشكل رقم (11) المتوسطات الشهرية لتركيز الأنيونات المقاسة في نقطتي الرصد.

بلغ مجال تركيز الكلورايد في نقطتي الرصد 30 mg/l (15 – 30)، وتركيز الكبريتات 8 mg/l (29 – 8)، وحققت جميع القيم المواصفة القياسية السورية لمياه الشرب، ويعزى ذلك لطبيعة المياه الجوفية العذبة المعدنية لبحيرة، ويشير وجود تركيزهما الأعلى في منطقة الينابيع المعدنية إلى وصولهما للمياه من مصادر طبيعية.



الشكل رقم (10): المتوسطات الشهريّة لتركيز الكاتيونات في مياه بحيرة السنّ في نقطتي الرصد

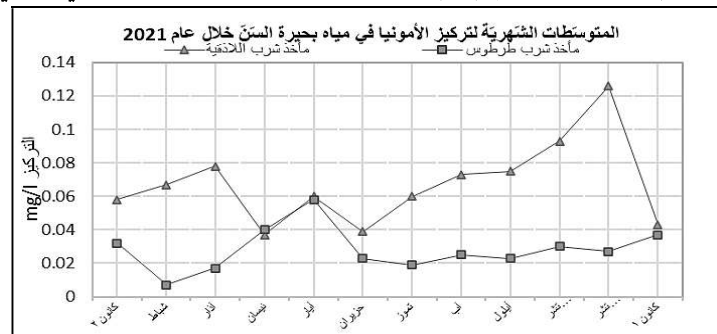
-A- الكالسيوم؛ -B- المغنيزيوم؛ -C- الصوديوم؛ -D- البوتاسيوم



الشكل رقم (11): المتوسطات الشهريّة لتركيز الأنيونات في نقطتي الرصد: A- الكلورايد؛ B- الكبريتات

11- تراكيز المغذيات في المياه**1-11- الأمونيا**

تشكل الأمونيا في المياه نتيجة التفكك الطبيعي للمواد العضوية النباتية، والحيوانية، أو نتيجة الأنشطة البشرية الصناعية، والزراعية، وتسرب الصرف الصحي إلى المصدر المائي، ويدل ارتفاع تركيزها إلى حدوث تلوث المياه بالمواد العضوية القابلة للتحلل، بينما يشير انخفاض تركيزها إلى حدوث نترجة تحولها إلى نترات ثم نترات، وتكون عادة مستوياتها الطبيعية في المياه الجوفية، والمياه السطحية أقل من 0.2 mg/l (Jafar et al., 2023; Osekrieh, 2018; WHO, 2022). تضعف الأمونيا كفاءة التطهير فتتفاعل مع الكلور لتقليل تركيز الكلور الحر وتكون الكلورامين، وتتسرب في تكوين النترات في أنظمة التوزيع وفشل المرشحات بإزالة المنغنيز وإحداث مشاكل في طعم المياه ورائحتها، وتكون تراكيزها في مياه الشرب أقل بكثير من تلك الخطرة على الصحة، ولا توجد تأثيرات سمية لها إلا عند التعرض لأكثر من 200 mg/Kg من وزن الجسم. لذلك لا تقترح المعايير القياسية العالمية لمياه الشرب ولا السورية قيمة إرشادية لها (S.N.S. 45, 2007; WHO, 2022).



الشكل رقم (12): المتوسطات الشهرية لتركيز الأمونيا في مياه بحيرة السنّ في نقطتي الرصد

بلغ التركيز الأعظمي لتركيز الأمونيا عند مأخذ شرب اللاذقية وطرطوس ($0.135, 0.224 \text{ mg/l}$) على التوالي، وهي قيم منخفضة تشير إلى حدوث التترجة وتحول الأمونيا الحرة إلى نترات، وكانت القيم أعلى عند مأخذ شرب اللاذقية نتيجة وصول حمولة عضوية مصدرها النباتات المائية والطحالب في البحيرة.

11-2- النترات والترايات

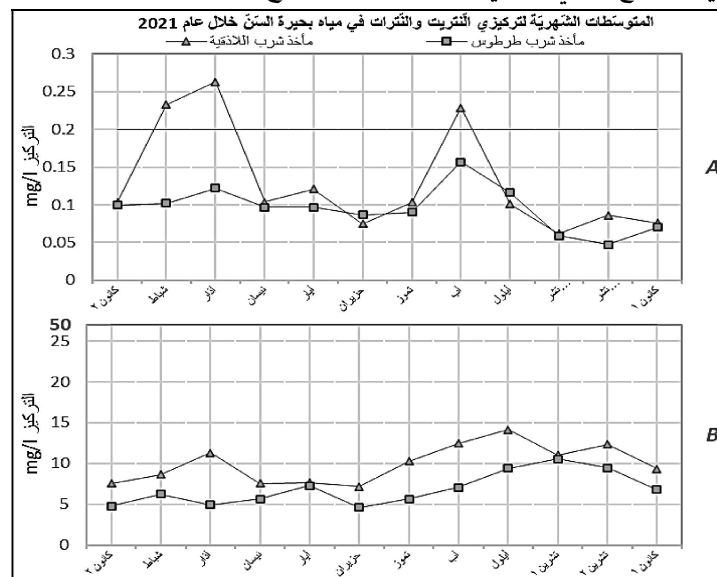
يُعتبر النترات والترايات من المؤشرات الكيميائية الأساسية المعبرة عن درجة التلوث بالمغذيات خاصة في المياه الزرقاء، والمناسبة للتكاثر الطحيلي (Jafar et al., 2023; Osekrieh, 2018; Salman, 2015). يتآكسد النترات بوجود الأوكسجين بسهولة إلى نترات، لذلك يشير وجوده في المياه إما إلى حدوث تلوث حديث بالصرف الصحي لم يستغرق فيه النترات زمناً كافياً للتآكسد إلى نترات، أو إلى بيئة مُرجعة فقيرة بالأوكسجين تُرجع فيها البكتيريا الترايات إلى نترات زماناً كافياً للتآكسد إلى نترات، أو إلى بيئة مُرجعة فقيرة بالأوكسجين تُرجع فيها البكتيريا الترايات إلى نترات (Cheikho et al., 2019; Salman, 2015). توجد الترايات بشكلٍ طبيعي في المياه، وهي الشكل الأكثر استقراراً للمركبات الأزوتية، ويدل ثبات تركيزها على استقرار التفاعلات في المياه، بينما يدل ارتفاعه على وصول تلوث عضوي يتسبّب بنمو النباتات المائية وتكاثرها وحدوث إثراءٍ غذائيٍ في المصدر المائي (Jafar et al., 2023; Osekrieh, 2018; WHO, 2022).

يتفاعل المتبقي من النترات المتصض في الدّم مع هيموغلوبين الدّم مشكلاً ميتموغلوبين الذي يُسبب في الرّضّع متلازمة الطفّل الأزرق، ويُعتقد أيضاً أنَّ للنترات أثر مسرطّن نظراً لإمكانية تفاعله مع العديد من مركّبات الجسم، وتكون مركّبات N-nitroso المسرطنة للإنسان (WHO, 2022). بينما تمنع الترايات التي تصل إلى جسم الإنسان في مياه الشرب من امتصاص اليود، وتؤثّر سلباً على عمل الغدة الدرقية، وتغيّر من تركيز هرمونها ووظائفه، لذلك تربط دراسات

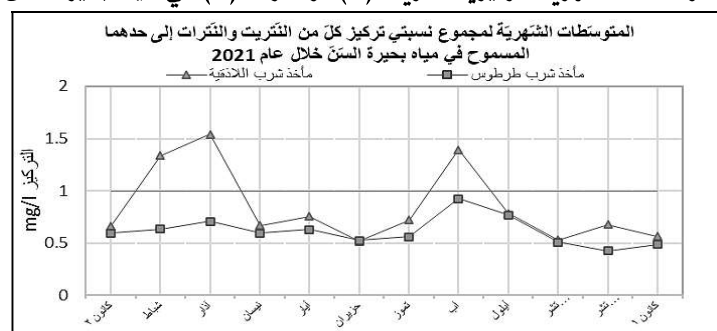
عديدة بينه وبين التشوّهات الخلقية (Jafar et al., 2023; Osekrieh, 2018; WHO, 2022). وفقاً للمواصفة القياسية السورية لمياه الشرب، يبلغ الحد المسموح لكل من النترات، والنترات في مياه الشرب mg/l (0.2, 50) على التوالي، وبسبب إمكانية تواجد النترات والنترات في مياه الشرب بشكل متزامن، فإن مجموع نسب تركيز كل منها على التوالي ($C_{Nitrate}$, $C_{Nitrite}$) mg/l إلى قيمة الإرشادية في مياه الشرب وفقاً للمواصفة القياسية المعتمدة (S.N.S 45, 2007) يجب أن يحقق المتراجحة: ($GV_{Nitrate}$, $GV_{Nitrite}$) mg/l

$$\frac{C_{Nitrate}}{GV_{Nitrate}} + \frac{C_{Nitrite}}{GV_{Nitrite}} \leq 1 \quad (1)$$

يبين الشكل رقم (13) المتوسطات الشهرية لتركيزى النترات، والنترات المعاكسة في نقطتي الرصد، وبين الشكل رقم (14) المتوسطات الشهرية لمجموع نسبتي تركيزهما إلى حدّهما المسموح وفق المواصفة القياسية السورية لمياه الشرب.



الشكل رقم (13): المتوسطات الشهرية لتركيزى النترات (A)، والنترات (B) في مياه بحيرة السنّ في نقطتي الرصد



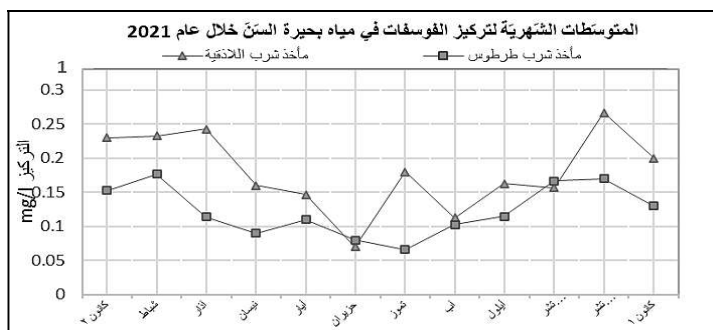
الشكل رقم (14): المتوسطات الشهرية لمجموع نسبتي تركيزى النترات والنترات في نقطتي الرصد إلى حدّهما المسموح بلغ التركيز الأعلى للنترات عند مأخذ شرب طرطوس $0.408 mg/l$ ، وللنترات $0.408 mg/l$ ، ولمجموع نسبتي تركيز كل منها إلى هذه المسموح 0.997 . محقّقين بذلك المواصفة القياسية السورية لمياه الشرب، بينما بلغ الحد الأعلى للنترات عند مأخذ شرب اللاذقية $0.165 mg/l$ ، وللنترات $19.1 mg/l$ ، ولمجموع النسبتين 2.366 وبذلك لم تتحقّق جميع قيم النترات ومجموع النسبتين المواصفة القياسية السورية لمياه الشرب عند مأخذ شرب اللاذقية.

يعود وجود النترات في مياه بحيرة السنّ إلى بعض الصخور الاندفاعية المنتشرة في منطقة الحوض، والتي تحتوي على توضّعات عضوية حاوية على الأزوٰت (Awad et al., 2000). ويعزى ارتفاع تركيزها في فترات المطر إلى

غسل التربة المجاورة الحاوية على بقايا الأسمدة الأزوتية، ويعزى انخفاض تراكيزها صيفاً إلى النمو السريع للطحالب التي تستهلك النترات كركيزة لها، وتستفادها في الفصول الحارة (Cheikho et al., 2019; Jafar et al., 2023; Osekrieh, 2018). ويشير وجود التراكيز الأعلى للنترات والنترات عند مأخذ مياه شرب اللاذقية إلى وصول حمولة عضوية للمياه من النباتات المائية، والطحالب المنتشرة في قاع البحيرة، وأطرافها.

3-11- الفوسفات

يعتبر الفوسفات العامل الحاسم للنّمو الطّحالي في المياه العذبة، إذ تسبّب تراكيزها العالية في فرط تكاثر الطحالب واستزرافها للأوكسجين المنحل متناسبة بالموت الحيوي، وتعكر وتلوّن المياه، وتدّي جودتها وصلاحتتها للاستخدامات المختلفة، ويتوارد الفوسفات في المياه بشكلين أحدهما عضوي ناتج عن تحلل الطحالب الميتة، والبقايا النباتية والحيوانية، وآخر لا عضوي مصدره الأسمدة الفوسفاتية، والمبيدات، ومياه الصرف الصناعي، والمنظفات الملقة مع مياه الصرف الصحي (Jafar et al., 2023). إن الحد الأعلى المسموح به لتركيز الفوسفات في مياه الشرب وفقاً للمواصفة القياسية السورية لمياه الشرب هو 1 mg/l (S.N.S 45, 2007). يبيّن الشكل رقم (15) المتosteّطات الشهريّة لتركيز الفوسفات في نقطتي الرصد.

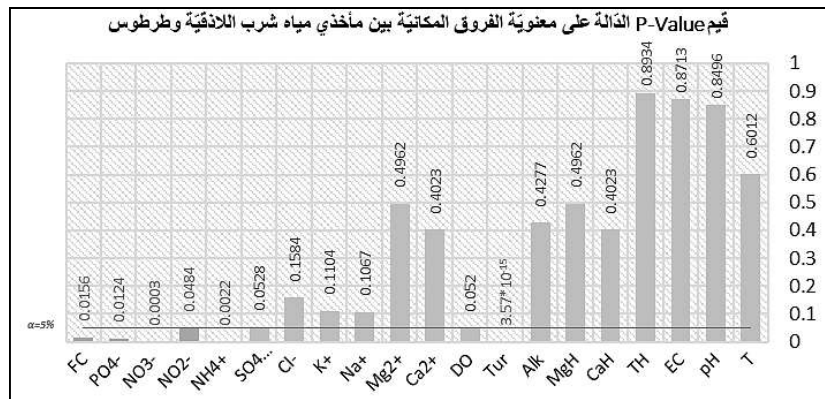


الشكل رقم (15): المتosteّطات الشهريّة لتركيز الفوسفات في مياه بحيرة السنّ في نقطتي الرصد

يعزى وجود الفوسفات في مياه بحيرة السنّ إلى انحلال بعض فلزات التوصّعات الاندفاعيّة التي تحتوي على الفوسفات، والموجودة في الحوض المغذي (Awad et al., 2000). تراوحت تراكيز الفوسفات عند نقطتي الرصد ضمن المجال $0 - 0.35 \text{ mg/l}$ محققة لما تنصّ عليه المواصفة القياسية السورية لمياه الشرب، ويشير وجود التراكيز الأعلى منها عند مأخذ مياه شرب اللاذقية إلى انحلال النباتات والطحالب المنتشرة على أطراف البحيرة وفي قاعها وتحرّر الفوسفات منها.

4-2- مقارنة جودة مياه مأخذي مياه شرب اللاذقية وطرطوس

أجري التحليل الاحصائي لدراسة معنوية الفروق في قياسات بارامترات جودة المياه بين مأخذي مياه شرب اللاذقية وطرطوس، ونتائجها مبيّنة في كلٍ من الجدول رقم (1)، والشكل رقم (16)، إذ تشير قيم $P\text{-value}$ الأقل من مستوى الذلالة $\alpha = 5\%$ على معنوية الفروق بين المأخذين.



بالنتيجة فإن مواصفات المياه عند مأخذ مياه شرب طرطوس في منطقة الينابيع المغذية جيدة وتحتاج فقط للتطهير للتخلص من عصيات الكوليiform، ويجب أن يكون المأخذ على عمق أكبر من العمق الحالي للحصول على مياه النبع مباشرةً، بينما تحتاج المياه من مأخذ مياه شرب اللاذقية للمعالجة نتيجة وجود تراكيز ملوثات عالية، وعدم تحقيق المواصفة القياسية السورية لمياه الشرب عدد من البارامترات المهمة غير محققة.

5- الاستنتاجات Conclusions

- وجود فروق معرفية مكانية بين مأخذ مياه شرب اللاذقية وطرطوس في قياسات كل من عكاره المياه، وأعداد عصيات الكولييفورم البرازية فيها، وتراكيز كل من الأمونيا، والترتيت، والنترات، والفوسفات فيها، إذ أنَّ قيمها عند مأخذ شرب طرطوس أفضل منها عند مأخذ شرب اللاذقية.
 - خصائص المياه في منطقة الينابيع المغذية لبحيرة السن التي تحصل منها محافظة طرطوس على المياه أفضل من خصائصها عند مأخذ مياه شرب اللاذقية.
 - صلاحية استجرار المياه للشرب مباشرةً من مأخذ مياه شرب طرطوس بعد تطهيرها.
 - عدم صلاحية استجرار المياه للشرب مباشرةً من مأخذ مياه شرب اللاذقية وضرورة معالجتها، وتطهيرها قبل صَحَّها.

6- المقترنات والتوصيات Suggestions and Recommendations

اعتماداً على نتائج البحث، يقترح الآتي:

- تفعيل خطة حماية لبحيرة السنّ من حمولات التلوث من حوضها المغذيّ، وبحيرة سوريت.
 - كبح نمو النباتات والطحالب في بحيرة السنّ لتقليل الحمولة العضوية فيها لاسيما أنّ محظّي تنقية مياه شرب اللاذقية، وضّح مياه شرب طرطوس غير مؤهلتين لإزالة هذه الملوثات.
 - نقل مأخذ مياه شرب اللاذقية إلى منطقة الينابيع المغذيّة حيث المياه أفضل جودة، مما يساهم في تحسين مواصفات مياه شرب اللاذقية، وتقليل خطر التعرّض للملوثات، والمركبات الثانوية الناتجة عن التّطهير، وتقليل كلف الاستثمار.
 - إذا لم تتوفر إمكانية نقل مأخذ مياه شرب اللاذقية إلى منطقة الينابيع المغذيّة لبحيرة السنّ، يجب إعادة تقييم عمل محطة تنقية مياه شرب اللاذقية وإجراء ما يلزم لها لتتمكن من إزالة كل أشكال الملوثات الموجودة في مياهها الخام.
- يوصى البحث بدراسة تغييرات بارامترات كيميائية إضافية في مياه الشرب المستجرّة من بحيرة السنّ مثل المنغنيز، واليود، والفلور، وتقدّير تركيز المعادن الثقيلة، والذّيّوت، والحملولات العضوية في مياه بحيرة السنّ عند نقاط رصد مختلفة فيها.

7- المراجع References

- 1- Awad, A., Al-Asaad, A., & Shareef, N. (2000). Impact of Hydrogeological and Hydrological Factors on the Quality of Sin-Spring Water. Tishreen University Journal–Engineering Sciences Series, 22(9). (In Arabic)
- 2- Awad, A., Wazan, A., & Aboud, M. (2017). Using Fuzzy Logic Index to Determine Water Quality Index of SIN Lake. Tishreen University Journal–Engineering Sciences Series, 39(6). (In Arabic)
- 3- Cheikho, T., Issa, M. H., & Dayoub, H. (2019). Study of Some Physical and Chemical Properties of El-Sen River Waters in Syrian Coastal Basin. Syrian Journal of Agricultural Research, 6(3), 333–350. (In Arabic)
- 4- Edwards, A., & Withers, P. (2008). Transport and delivery of suspended solids, nitrogen and phosphorus from various sources to freshwaters in the UK. Journal of Hydrology, 350(3–4), 144–153 .
- 5- Effendi, H. (2016). River water quality preliminary rapid assessment using pollution index. Procedia Environmental Sciences, 33, 562–567 .
- 6- Fortes, A. C. C., Barrocas, P. R. G., & Kligerman, D. C. (2023). Water quality indices: Construction, potential, and limitations. Ecological Indicators, 157, 111187 .
- 7- General Organization of Remote Sensing. (2008). Hydrogeological–Sensor Study to Protect Al-Sin Spring from Pollution. (In Arabic)
- 8- Ghalia, S. (2013). Study of Some Indicators of Water Quality in Lattakia Dams. Tishreen University Journal–Engineering Sciences Series, 35(1). (In Arabic)
- 9- Habib, L., Ghafar, M., & Hatem, Z. (2017). Evaluation the availability of Al-Sinn lake for phosphorus pollution by self– cleansing. Tishreen University Journal–Biological Sciences Series, 39(5). (In Arabic)

- 10– Hattab, R. S. (2012). Water Supply Management of the Costal Area from Al-Sen Spring by Using Linear Programming. Master Thesis,Faculty of Civil Engineering–Department of Environmental Engineering Tishreen University. Syria. PP:140, (In Arabic)
- 11– Heathwaite, A., Quinn, P., & Hewett, C. (2005). Modelling and managing critical source areas of diffuse pollution from agricultural land using flow connectivity simulation. *Journal of Hydrology*, 304(1–4), 446 – 461.
- 12– Jafar, R. (2016). Application of the Water Quality Index (NSFWQI) on the Al-Sain Lake. *Tishreen University Journal–Engineering Sciences Series*, 38(4). (In Arabic)
- 13– Jafar, R., Awad, A., Hatem, I., Jafar, K., Awad, E., & Shahrour, I. (2023). Multiple Linear Regression and Machine Learning for Predicting the Drinking Water Quality Index in Al-Seine Lake. *Smart Cities*, 6(5), 2807–2827 .
- 14– Osekrieh, A. A. (2018). Modeling of Water Turbidity in Al-Sin Drinking Water Treatment Plant Using Artificial Neural Networks. Master Thesis,Faculty of Civil Engineering–Department of Environmental Engineering Tishreen University. Syria. PP:117, (In Arabic)
- 15– Salman, F. A. (2015). Comparison between the concentrations of some pollutants in drinking water from distribution system and bottled water. *Tishreen University Journal–Biological Sciences Series*, 37(2). (In Arabic)
- 16– Shaheen, H., Junaidi, H., Ali, A. Q., & Ateah, A. (2021). Study of Polycyclic Aromatic Hydrocarbons (PAHs) in Water of Lake Sureat. *Tishreen University Journal–Engineering Sciences Series*, 43(5). (In Arabic)
- 17– Syrian Arab Organization for Standardization and Metrology. (2007).S.N.S: 45,Drinking Water – Second Review, (In Arabic)
- 18– World Health Organization. (2022). Guidelines for drinking-water quality :fourth edition incorporating the first and second addenda. World Health Organization.Geneva ,
- 19– Yadav, A. K., Khan, P., & Sharma, S. K. (2010). Water Quality Index Assessment ofGroundwater in Todaraisingh Tehsil of Rajasthan State, India-A Greener Approach. *Journal of Chemistry*, 7, S428–S432 .